

DOI:10.3969/j.issn.1005-202X.2023.10.011

医学影像物理

## 基于不同参数估计方法获得的体素内不相干运动量化参数的可重复性研究

张梓雄<sup>1</sup>,杨蔓蔓<sup>1</sup>,张菁菁<sup>1</sup>,乔文俊<sup>1</sup>,熊小丽<sup>2</sup>

1.南方医科大学南方医院医学影像中心,广东广州 510515; 2.海南医学院附属海南医院放射科,海南海口 570311

**【摘要】目的:**利用不同参数估计方法,研究磁共振弥散加权成像(DWI)体素内不相干运动参数在正常肾脏皮质中的可重复性。**方法:**选取18例志愿者使用飞利浦Ingenia 3.0T核磁共振成像设备进行两次自由呼吸腹部肾脏多b值DWI。基于双指数模型,分别用非线性最小二乘拟合方法(NLLS)和贝叶斯估计方法(Bayes)从多b值DWI数据中计算体素不相干运动的量化参数图(D、D\*、f)。从左右侧肾脏的皮质分别选取3个大小一致的兴趣区,分别计算各个参数均值,并通过Bland-Altman评价方法比较两种方法获得的各个参数的可重复性。**结果:**Bayes方法计算的参数D、f和D\*在两次扫描间的变化系数分别为37.4%、30.0%和64.0%,NLLS方法计算获得的参数D、f和D\*在两次扫描间的变化系数分别为40.7%、35.2%和53.7%,Bayes方法计算获得的参数值D和f的变化系数低于NLLS方法,前者一致性更好;NLLS方法计算获得的参数值D\*的变化系数低于Bayes方法,前者一致性更好。**结论:**基于双指数模型,可以采用两种方法进行计算,Bayes方法计算获取D和f值,NLLS方法计算获取D\*值,以提升肾脏皮质各个定量参数的稳定性和可靠性。

**【关键词】**肾脏皮质;弥散加权成像;不相干运动;双指数模型

**【中图分类号】**R318;R811

**【文献标志码】**A

**【文章编号】**1005-202X(2023)10-1251-04

## Repeatability study on quantization parameters of intravoxel incoherent motion obtained by different estimation methods

ZHANG Zixiong<sup>1</sup>, YANG Manman<sup>1</sup>, ZHANG Jingjing<sup>1</sup>, QIAO Wenjun<sup>1</sup>, XIONG Xiaoli<sup>2</sup>

1. Medical Imaging Center, Nanfang Hospital, Southern Medical University, Guangzhou 510515, China; 2. Department of Radiology, Hainan Affiliated Hospital of Hainan Medical University, Haikou 570311, China

**Abstract:** Objective To study the repeatability of intravoxel incoherent motion (IVIM) parameters of diffusion weighted imaging (DWI) in normal renal cortex obtained by two different estimation methods. Methods Eighteen volunteers were enrolled and underwent free-breathing abdominal-renal multi-b-value DWI twice using Philips Ingenia 3.0T magnetic resonance imaging equipment. Based on the double exponential model, the quantization parameter maps (D, D\*, f) of IVIM were calculated from multi-b-value DWI data using non-linear least squares (NLLS) method and Bayesian estimation (Bayes) method. Three equally sized regions of interest were selected from bilateral renal cortex, and the mean of each parameter was calculated. The repeatability of each parameter estimated by the two methods was analyzed using Bland-Altman method. Results The coefficients of variation of parameters D, f, and D\* calculated by Bayes method between two scans were 37.4%, 30.0%, and 64.0%, respectively; while those calculated by NLLS method between two scans were 40.7%, 35.2%, and 53.7%, respectively. The coefficients of variation of parameters D and f calculated by Bayes method were lower than those of NLLS method, indicating that Bayes method had better consistency; and the coefficient of variation of D\* obtained by NLLS method was lower than that of Bayes method, indicating that NLLS method had better consistency. Conclusion The stability and reliability of various quantitative parameters in the renal cortex can be improved by two methods based on double exponential model: using Bayes method to obtain parameters D and f, and using NLLS method to obtain parameter D\*.

**Keywords:** renal cortex; diffusion weighted imaging; incoherent motion; double exponential model

【收稿日期】2023-08-10

【作者简介】张梓雄,在读硕士,助理工程师,研究方向:医学成像,E-mail: 634987481@qq.com

【通信作者】熊小丽,主管技师,研究方向:医学成像,E-mail: 364433376@qq.com

## 前言

磁共振弥散加权成像(Diffusion Weighted Imaging, DWI)因其能在分子水平上观测到水分子的运动而具有十分重要的应用价值<sup>[1-2]</sup>。随着磁共振设

备软硬件技术的快速发展,DWI在临床中的应用越来越广泛,而今已成为临床中最常用的检查技术之一<sup>[3-4]</sup>。DWI在肾脏疾病的检出、定性和疗效评估中的应用越来越多<sup>[5-7]</sup>。然而,传统的DWI数据拟合多采用单指数模型,即DWI信号强度随着梯度因子b值的增高而呈单指数衰减的趋势<sup>[8-9]</sup>,单指数模型能很好地反映组织中水分子的运动程度<sup>[10]</sup>。有研究表明DWI信号衰减同时受到水分子自由扩散和微循环血流灌注两种成分的影响<sup>[11]</sup>。因此,运用体素内不相干运动(Intravoxel Incoherent Motion, IVIM),通过双指数模型拟合来描述DWI信号的扩散情况能反映水分子自由扩散和微循环血流灌注信息<sup>[12-13]</sup>。已有研究探讨IVIM在肾脏中的应用,结果表明IVIM在肾脏疾病的定性和疗效评估中有着重要的价值<sup>[14-16]</sup>。为使研究结果更可靠和有效,需要确保IVIM参数估计的可靠性,即是否具有较高的可重复性。因此,本研究旨在评价不同参数估计方法获得的IVIM量化参数在肾脏皮质中的可重复性,为IVIM参数提供一种有效的量化方法,获取更稳定的参数估计方法,为临床提供有效的辅助诊断信息。

## 1 方法

### 1.1 检查方法

所有实验数据均为身体健康且既往无任何肾脏疾病的志愿者,使用飞利浦Ingenia 3.0T超导核磁共振成像仪进行扫描。采用自由呼吸单次激发平面回波成像序列<sup>[17]</sup>,扫描参数如下:TR 1 600 ms;TE 62 ms;矩阵256×256;分辨率1.46 mm×1.46 mm;层厚5.0 mm;层间隔0 mm;层数30;采用多b值扫描<sup>[18]</sup>,b值分别设置为10、20、40、80、200、400、600、1 000 s/mm<sup>2</sup>,其对应的激励次数分别设置为1、1、1、1、1、1、2、4,两次扫描定位范围保持一致。

### 1.2 实验方法

分别采用非线性最小二乘参数估计方法(Non-Linear Least Squares, NLLS)<sup>[19-20]</sup>和贝叶斯参数估计方法(Bayesian Estimation, Bayes)<sup>[21-22]</sup>估计IVIM参数,获得这两种方法对应的IVIM参数(真性扩散系数D、假性扩散系数D\*和灌注分数f)的图像<sup>[23]</sup>。对两组数据分别采用NLLS和Bayes方法测得的D、D\*和f数据的均值,分别计算其变化系数,使用Bland-Altman方法分别评价两种估计方法在18个志愿者中测量的IVIM参数(D、D\*和f)的可重复性<sup>[24-26]</sup>。

### 1.3 图像处理及参数值测量

利用MATLAB 2021软件分别用NLLS和Bayes方法计算生成IVIM参数图(D、D\*和f)。选取图像信号均匀且无明显运动伪影的肾门扫描层面为标准

层,在左右侧肾脏的皮质区域中分别勾画3个大小一致的兴趣区进行分析(图1)。

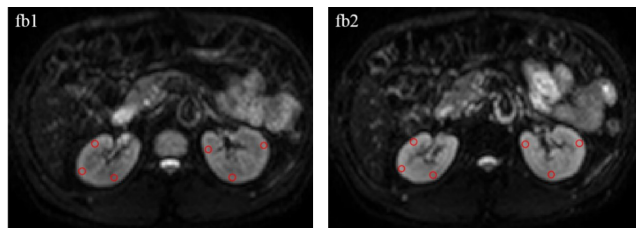


图1 两次采集的同一层面的肾脏图像

Figure 1 Two renal images collected at the same layer

红色圆圈为分别在左右肾脏皮质区域各选取的3个感兴趣区域。fb1为第一次自由呼吸采集图像数据,fb2为第二次自由呼吸采集图像数据

## 2 结果

图2为IVIM模型获得的D值参数图。可以看出,用Bayes方法获得的D值参数图相比用NLLS方法获得的D值参数图更平滑;用NLLS方法获得的参数图D有一些突变点。

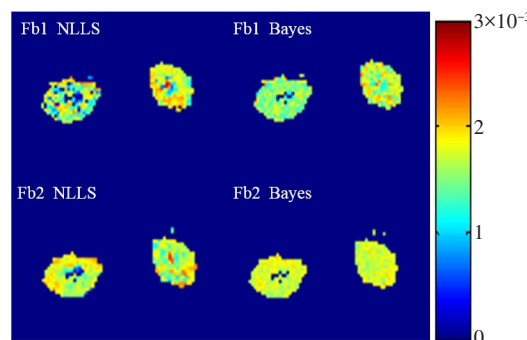


图2 肾脏D值的参数图

Figure 2 D value of the kidney

图3为IVIM模型获得的D\*参数图。可以看出,NLLS方法获得的D\*参数图边界值点较多;用Bayes方法获得的D\*参数图更为平滑,肾脏皮质区域没有出现极限值点。

图4为IVIM模型获得的f值参数图。可以看出,Bayes方法获得的f值参数图更为平滑,第一次自由呼吸用Bayes方法获得的f值参数图仍存在一些边界值点。

图5为两次自由呼吸的Bland-Altman图。Bayes方法在两次自由呼吸状态下获得参数值D、D\*和f的变化系数分别为37.4%、64.0%和30.0%;NLLS方法获得的参数值D、D\*和f的变化系数分别为40.7%、53.7%和35.2%。用Bayes方法获得的D和f值在两

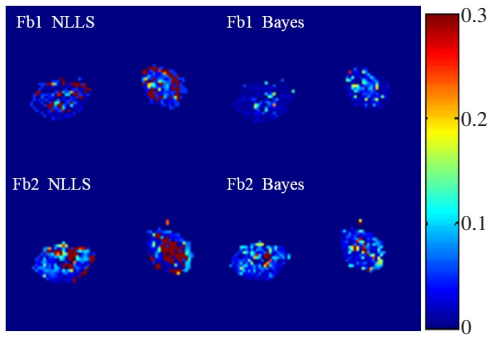


图3 肾脏D\*值的参数图  
Figure 3 D\* value of the kidney

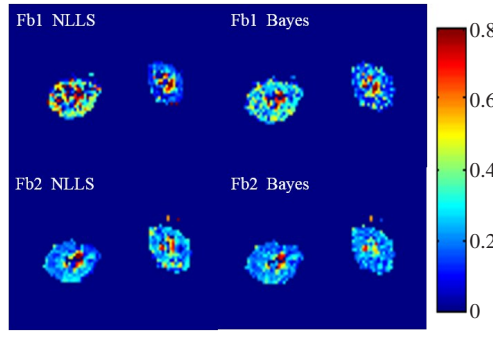


图4 肾脏f值的参数图  
Figure 4 f value of the kidney

次自由呼吸之间其标准偏差更小、一致性更好;用 NLLS 方法获得的 D\* 值在两次自由呼吸之间,其标准

差较于 Bayes 方法更小,一致性更好。

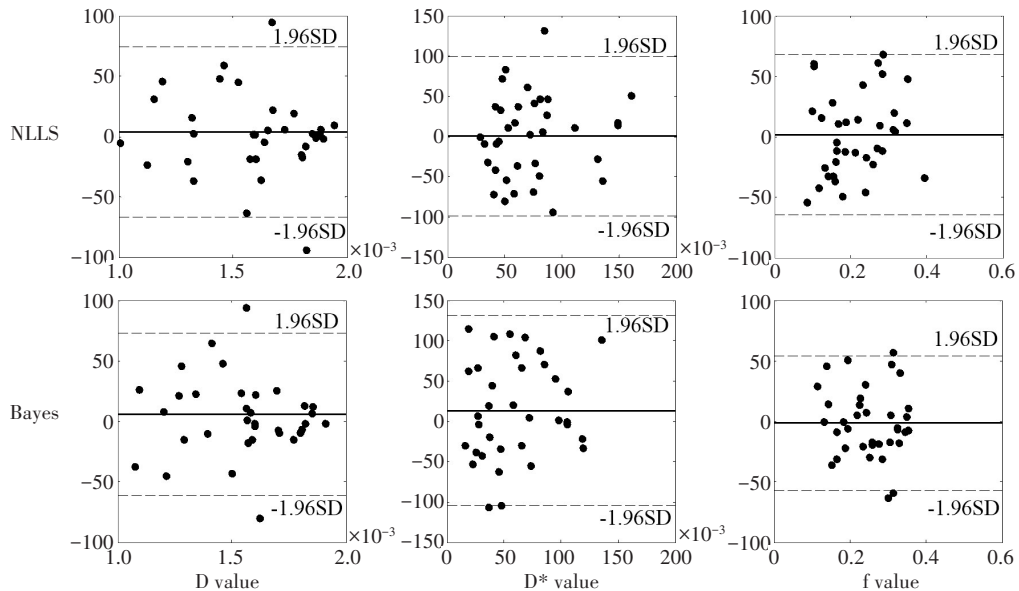


图5 两次自由呼吸采集获得的IVIM参数(D, D\*和f)的Bland-Altman图  
Figure 5 Bland-Altman plots of IVIM parameters (D, D\*, and f) obtained from two free-breathing DWI

### 3 结论与讨论

用 NLLS 方法求得的参数在信号噪声服从高斯分布的时候等价于极大似然估计<sup>[27]</sup>。每个体素点都寻找一个均方根误差最小的结果,其准确性和可靠性在信号噪声服从高斯分布的时候能产生无偏的估计结果。Bayes 方法是基于参数图服从高斯分布的假设,再用 NLLS 方法获得参数值进行初始化,迭代求解满足服从正态分布的参数图,与此同时,保持整个图像的均方根误差最小。Bayes 的这种假设一定程度上能保持图像的平滑性,减少图像中的极限值点,同时减少某些突变的噪声对参数估计的影响,然而,这种处理也可能改变图像本身的实际的参数值。

Bayes 方法能平滑图像,保证图像在视觉效果上的一致性,这样的平滑效果一定程度上能提高两次自由呼吸获得参数值的一致性。Bayes 方法是在 NLLS 方法获得参数值后进行多次迭代获得的结果,其较于 NLLS 方法更耗时。

现有研究中,IVIM-DWI 具有反映组织的水分子扩散状态及血流灌注情况的优势,IVIM 参数值在肾脏原发性疾病的良恶性鉴别、恶性肿瘤疗效评估以及肾脏继发性疾病的诊疗中都有重要的意义,不同的疾病也会引起 IVIM 参数值产生不同的变化趋势。本研究是在自由呼吸下采集数据,无论用 NLLS 方法或者 Bayes 方法,其一致性程度都较低,其一致性程

度影响因素可能是由于自由呼吸运动或者腹腔脏器运动产生的位移影响所导致。下一步的研究拟通过呼吸触发的扫描方法来采集数据,以保证不同b值图像之间各个体素对齐,减少呼吸运动对参数估计的影响,并进一步扩大样本量,保证实验的准确性,从而进一步研究IVIM不同参数值变化趋势在肾脏疾病乃至全身多脏器疾病的辅助诊断中的应用价值。

## 【参考文献】

- [1] Auser T, Essig M, Jensen A, et al. Prediction of treatment response in head and neck carcinomas using IVIM-DWI: evaluation of lymph node metastasis[J]. Eur J Radiol, 2014, 83(5): 783-787.
- [2] 杨贵华, 王梅, 张敏凤, 等. 医学临床中核磁共振全身弥散成像技术的研究[J]. 影像研究与医学应用, 2018, 2(20): 76-77.  
Yang GH, Wang M, Zhang MF, et al. Research on magnetic resonance whole body diffusion imaging technology in medical clinical practice [J]. Journal of Imaging Research and Medical Applications, 2018, 2 (20): 76-77.
- [3] 王笑男, 李春媚, 陈敏. 磁共振成像机遇和挑战-中国十年来发展成果及展望[J]. 磁共振成像, 2022, 13(10): 1-4.  
Wang XN, Li CM, Chen M. Opportunities and challenges of magnetic resonance imaging: achievements and prospects over the past decade in China[J]. Chinese Journal of Magnetic Resonance Imaging, 2022, 13(10): 1-4.
- [4] 刘锦文, 黄柏峰, 陈镜聰, 等. 磁共振全身弥散加权成像的临床应用[J]. 中国医疗设备, 2019, 34(S1): 103-105.  
Liu JW, Huang BF, Chen JC, et al. Clinical application of magnetic resonance whole body diffusion weighted imaging[J]. China Medical Devices, 2019, 34(S1): 103-105.
- [5] Lei Y, Wang H, Li HF, et al. Diagnostic significance of diffusion-weighted MRI in renal cancer[J]. Biomed Res Int, 2015, 2015(18): 172165.
- [6] Park SY, Kim CK, Park BK, et al. Assessment of early renal allograft dysfunction with blood oxygenation level-dependent MRI and diffusion-weighted imaging[J]. Eur J Radiol, 2014, 83(12): 2114-2121.
- [7] Zhang JJ, Suo ST, Liu GQ, et al. Comparison of monoexponential, biexponential, stretched-exponential, and kurtosis models of diffusion-weighted imaging in differentiation of renal solid masses[J]. Korean J Radiol, 2019, 20(5): 791-800.
- [8] Fan Q, Eichner C, Afzali M, et al. Mapping the human connectome using diffusion MRI at 300 mT/m gradient strength: methodological advances and scientific impact[J]. Neuroimage, 2022, 254: 118958.
- [9] 田曼婷, 丁长伟. 单指数模型扩散加权成像及体素内不相干运动成像在自身免疫性疾病的应用进展[J]. 磁共振成像, 2023, 14(8): 158-164  
Tian MT, Ding CW. Application progress of diffusion-weighted imaging basded on mono-exponential and intravoxel incoherent motion imaging in autoimmune diseases [J]. Chinese Journal of Magnetic Resonance Imaging, 2023, 14(8): 158-164
- [10] 刘妍, 卢强, 谢宇, 等. 单双指数模型扩散加权成像鉴别诊断肾脏良性肿瘤对比研究[J]. 放射学实践, 2016, 31(6): 516-520.  
Liu Y, Lu Q, Xie Y, et al. Diffusion-weighted imaging based on mono-exponential and bi-exponential models: a comparative study in differential diagnosis of benign and malignant renal tumors [J]. Radiologic Practice, 2016, 31(6): 516-520.
- [11] 康建蕴, 伍建林. 影响磁共振弥散加权成像信号的因素[J]. 大连医科大学学报, 2004, 26(2): 152-154.  
Kang JY, Wu JL. Influencing factors of MR diffusion-weighted signal [J]. Journal of Dalian Medical University, 2004, 26(2): 152-154.
- [12] Heusch P, Wittack HJ, Pentang G, et al. Biexponential analysis of diffusion-weighted imaging: comparison of three different calculation methods in transplanted kidneys[J]. Acta Radiologica, 2013, 54(10): 1210-1217.
- [13] Bourne RM, Kurniawan N, Cowin G, et al. Biexponential diffusion decay in formalin-fixed prostate tissue: preliminary findings[J]. Magn Reson Med, 2012, 68(3): 954-959.
- [14] 李琼, 张泉, 孙浩然, 等. 应用扩散加权成像双指数模型评价慢性肾脏病的初步研究[J]. 临床放射学杂志, 2012, 31(7): 970-974.  
Li Q, Zhang Q, Sun HR, et al. Preliminary study of biexponential model of diffusion weighted imaging in evaluation of chronic kidney disease[J]. Journal of Clinical Radiology, 2012, 31(7): 970-974.
- [15] 王娟. 肾脏皮质体素内不相干运动磁共振扩散加权成像在糖尿病肾病临床分期诊断中的应用价值[J]. 包头医学, 2022, 46(2): 18-20.  
Wang J. Application value of magnetic resonance intravoxel incoherent motion-diffusion weighted imaging in renal cortical voxel in clinical staging diagnosis of diabetes nephropathy [J]. Journal of Baotou Medicine, 2022, 46(2): 18-20.
- [16] 郑在琼, 王登伟, 李欢, 等. 磁共振弥散加权成像技术、体素内不相干运动磁共振成像技术在糖尿病肾病诊断中的应用研究进展[J]. 临床肾脏病杂志, 2020, 20(10): 838-842.  
Zheng ZQ, Wang DW, Li H, et al. Research progress on application of diffusion weighted imaging and intravoxel incoherent motion in the diagnosis of diabetic nephropathy [J]. Journal of Clinical Nephrology, 2020, 20(10): 838-842.
- [17] 陈倩, 钱伟亮, 张继斌, 等. 分段读出平面回波成像与单次激发平面回波成像DWI序列ADC值在评估子宫内膜癌肌层浸润中的对比分析[J]. 放射学实践, 2023, 38(6): 738-743.  
Chen Q, Qian WL, Zhang JB, et al. Comparison between ADC value based on readout-segmented echo-planar imaging and single-shot echo-planar imaging in evaluating the myometrial invasion of endometrial carcinoma[J]. Radiologic Practice, 2023, 38(6): 738-743.
- [18] 郭永榜, 张晓亚, 郭青榜, 等. MRI多b值DWI成像对慢性肾病患者分期的评估价值研究[J]. 中国CT和MRI杂志, 2022, 20(5): 142-144.  
Guo YB, Zhang XY, Guo QB, et al. Evaluated value of MRI multiple b-value DWI imaging in the staging of patients with chronic kidney disease[J]. Chinese Journal of CT and MRI, 2022, 20(5): 142-144.
- [19] Cho GY, Moy L, Zhang JL, et al. Comparison of fitting methods and b-value sampling strategies for intravoxel incoherent motion in breast cancer[J]. Magn Reson Med, 2015, 74(4): 1077-1085.
- [20] 曹天捷. 几种生长模型参数的最小二乘估计方法及应用[J]. 中国民航大学学报, 2011, 29(4): 39-44.  
Cao TJ. Least square estimation of parameters in few growth model and its application[J]. Journal of Civil Aviation University of China, 2011, 29(4): 39-44.
- [21] Orton MR, Collins DJ, Koh DM, et al. Improved intravoxel incoherent motion analysis of diffusion weighted imaging by data driven Bayesian modeling[J]. Magn Reson Med, 2014, 71(1): 411-420.
- [22] 李亚茹, 张宇来, 王佳晨. 面向超参数估计的贝叶斯优化方法综述[J]. 计算机科学, 2022, 49(S1): 86-92.  
Li YR, Zhang YL, Wang JC. Survey on Bayesian optimization methods for hyper-parameter tuning[J]. Computer Science, 2022, 49(S1): 86-92.
- [23] 匡静, 黄小华, 成涛, 等. 体素内不相干运动扩散加权成像在肾脏的应用进展[J]. 国际医学放射学杂志, 2020, 43(1): 78-82.  
Kuang J, Huang XH, Cheng T, et al. Progress in application of intravoxel incoherent motion diffusion weighted imaging in kidney[J]. International Journal of Medical Radiology, 2020, 43(1): 78-82.
- [24] 刘甜甜, 钟伟华, 陆梦洁, 等. Bland-Altman方法一致性评价报告的系统评价[C]//2017年中国卫生统计学学术年会, 2017: 57.  
Liu TT, Zhong WH, Lu MJ, et al. Systematic evaluation of the consistency evaluation report of the Bland-Altman method [C]// Proceedings of the 2017 China Annual Conference on Health Statistics, 2017: 57.
- [25] 付美子, 林炳清. 临床测量中定量数据Bland-Altman一致性评价[J]. 广西师范大学学报(自然科学版), 2022, 40(1): 125-138.  
Fu MZ, Lin BQ. Bland-Altman method for assessing agreement of quantitative data in clinical measurement [J]. Journal of Guangxi Normal University (Natural Science Edition), 2022, 40(1): 125-138.
- [26] 陈飞龙, 徐涛. 定量方法比较研究的样本量考虑[J]. 临床检验杂志, 2023, 41(5): 380-384.  
Chen FL, Xu T. Sample size considerations for comparative studies of quantitative methods [J]. Chinese Journal of Clinical Laboratory Science, 2023, 41(5): 380-384.
- [27] Wang S, Chen WX, Chen M, et al. Maximum likelihood estimation of the parameters of the inverse Gaussian distribution using maximum rank set sampling with unequal samples[J]. Math Popul Stud, 2023, 30: 1-12.

(编辑:谭斯允)